



배열회수 보일러 단일 흰튜브의 양력과 항력 변동에 따른 PSD 특성 연구

[†]하지수* · 이부윤

계명대학교 기계자동차공학과

(2015년 10월 24일 접수, 2016년 3월 18일 수정, 2016년 3월 19일 채택)

The Power Spectral Density Characteristics of Lift and Drag Fluctuation of Fin Tube in a Heat Recovery Steam Generator

[†]Ji Soo Ha* · Boo Youn Lee

Mechanical&Automotive Engineering Dept., Keimyung University, Daegu 1000, Korea

(Received October 24, 2015; Revised March 18, 2016; Accepted March 19, 2016)

요약

배열회수 보일러의 전열관군은 외부에 고온의 배기가스가 흐르면서 유동 유발 진동을 야기 시키며 배열회수 보일러의 전열관군에서 파손을 야기할 수 있어서 열교환기의 구조적 안정성을 위해 열교환기의 전열관군에서 유동 유발 진동 특성을 규명할 필요가 있다. 일반적인 열교환기 전열관군에서 유동 유발 진동에 관한 실험적 연구는 기존에 많이 진행되어 오고 있으며 단일 원관이나 전열관군의 원관들에서 유동 유발 진동에 대한 무차원 PSD(Power Spectral Density) 함수를 무차원 주파수인 Strouhal 수, fD/U의 함수로 도출된 실험적 결과들이 도출되어 있다. 본 연구는 배열회수 보일러에 사용하는 흰튜브 전열관군에서 유동 유발 진동 특성을 규명하는 것을 목적으로 한다. 이러한 것을 위해 단일 흰튜브에서 비정상 상태 유동해석을 수행하여 주기적인 와동 발생 특성과 단일 흰튜브에서의 양력과 항력 변화 특성을 살펴보았다. 또한 단일 흰튜브에서 양력과 항력 변동 특성으로부터 유동 유발 진동에 따른 PSD 특성 결과를 도출하여 기존에 단순 원관에서 이루어졌던 연구들과 비교를 통해 단일 흰튜브 주위의 PSD 특성을 정립하였다.

Abstract - Heat exchanger tube array in a heat recovery steam generator is exposed to the hot exhaust gas flow and it could cause the flow induced vibration, which could damage the heat exchanger tube array. It is needed for the structural safe operation of the heat exchanger to establish the characteristics of flow induced vibration in the tube array. The researches for the flow induced vibration of typical heat exchangers have been conducted by using single circular tube or circular tube array and the nondimensional PSD(Power Spectral Density) function with the Strouhal number, fD/U, had been derived by experimental method. From the present study, the basis for the application of flow induced vibration to the heat recovery steam generator tube array would be prepared. For the previous mentioned purpose, the present CFD analysis introduced a single fin tube and calculated with the unsteady laminar flow over the single fin tube. The characteristics of vortex shedding and lift and drag fluctuation over the fin tube was investigated. The derived nondimensional lift PSD was compared with the results of the previous experimental studies and the characteristics of lift and drag PSD over a single fin tube was established from the present CFD study.

Key words : heat exchanger, circular cylinder, flow induced vibration, lift fluctuation, drag fluctuation, power spectral density, Karmann vortex, unsteady laminar flow, FFT

[†]Corresponding author: jisooha@kmu.ac.kr

Copyright © 2016 by The Korean Institute of Gas

I. 서 론

복합화력 발전에서 배열을 회수하여 전기를 생산하는 배열회수 보일러는 확대 덕트를 지나 수많은 전열관군으로 구성된 열교환기에서 배열을 회수하여 전열관군 내의 보일러수를 증기로 변환하여 스팀 터빈을 구동한다. 배열회수 보일러의 전열관군은 외부에 고온의 배기가스가 흐르게 된다. 이러한 유체의 흐름으로 인해 전열관군에서 시간변화에 따라 양력의 변동이 발생하는데 이에 따라 유동 유발 진동이 발생한다. 유동 유발 진동은 배열회수 보일러의 전열관군에서 파손을 야기할 수 있어서 열교환기의 구조적 안정성을 위해 열교환기의 전열관군에서 유동 유발 진동의 정도에 대한 규명이 필요하다. 일반적인 열교환기 전열관군에서 유동 유발 진동에 관한 연구는 기존에 많이 진행되어 오고 있다. Blevins⁽¹⁾는 10행, 12열의 전열관군에서 각 열에서의 원관 표면에 압력센서를 부착하여 시간 변화에 따른 압력을 측정하여 유동 유발 진동 특성을 연구하였다. Taylor⁽²⁾는 하나의 원관과 인접한 곳에 반 원관을 좌우에 각각 한 개씩 설치하고 유체는 물을 사용하여 원관에 작용하는 힘을 측정하여 원관의 유동 유발 진동을 측정하여 특성을 분석하였다. Chen⁽³⁾은 사각배열의 원관에서 유동 유발 진동 특성을 연구하였고 Axia⁽⁴⁾는 여러 관련 논문의 유동 유발 진동 특성 실험 결과들에 대하여 검증 실험을 통해 유동 유발 진동에 대한 일반화된 PSD(Power Spectral Density) 함수를 정리하였다. 또한 Paul⁽⁷⁾에 의해 전열관군에서 난류 유동에 관한 실험과 전산유체해석 연구를 통해 전열관군의 난류 특성에 관한 연구도 이루어지고 있다. 최근에는 Ha[8]에 의해 단일 원관에서 양력과 항력 변동에 따른 PSD 특성을 연구가 이루어 졌다.

지금까지의 연구들은 원관 주위에 발생하는 유동 유발 진동 특성에 대하여 진행되어 왔다. 배열회수 보일러의 전열관군은 표면이 매끄러운 원관이 아니라 전열 효율을 증가하기 위해 흐름튜브를 사용한다. 본 연구는 배열회수 보일러에서 사용하고 있는 흐름튜브 주위의 비정상 상태 유동 특성을 살펴보고 배열회수 보일러의 전열관군의 유동 유발 진동 특성이 적용하기 위한 기반을 마련하는 것을 목적으로 한다. 이러한 것을 위해 배열회수 보일러에 사용하는 단일 흐름튜브 원관에서 비정상 상태 유동해석을 수행하여 주기적인 와동 발생 특성과 원관에서의 양력과 항력 변화 특성을 살펴보기로 한다. 또한 흐름튜브 원관에서 양력과 항력 변동 특성으로부터 유동 유발 진동에 따른 PSD 특성 결과를 도출하여 기존에 원관 주위의 유동 유발 진동 연구들과 비교를 통해 흐

름튜브 원관 주위의 양력과 항력 변동의 PSD 특성을 정립하기로 한다.

II. 수치해석방법

배열회수 보일러의 전열관군에서 발생하는 유체 유발 진동을 규명하기 위해 흐름튜브 단일 원관에서 유체유발 진동을 전산유체 해석을 통해 살펴보고 기존의 실험 연구들의 결과와 비교 검증하여 흐름튜브 원관 주위의 PSD 특성을 정립하는 것이 본 연구의 목적이라고 서론에서 언급하였다. Fig. 1에 본 연구에서 전산 유체 유동해석에 사용한 흐름튜브 단일 원관 형상과 격자 구성을 나타내었다.

Fig. 1의 위쪽 그림에서 보는 바와 같이 흐름튜브의 안쪽 직경(d)은 38.1mm이고 흐름의 높이(h)는 10mm이다. 그래서 흐름튜브의 바깥쪽 직경(D)은 58.1mm이다. 흐름의 한 피치 간격(s)는 8mm이고 흐름의 두께(ft)는 1mm이다. 안쪽 원관의 표면 한 피치 표면 길이(tt)는 7mm이다. 그림의 중간에서 보는 바와 같이 외쪽은 입구속도경계이고 오른쪽은 출구로 설정하였다. 그리고 상하는 모두 대칭면으로 간주하였다. 흐름튜브 원관 주위의 유동을 자세히 계산하기 위해 Fig. 1의 아래 그림에서처럼 흐름튜브 원관 주위에는 상대적으로 많은 격자를 생성하였다. 아래 그림 오른쪽에는 유동 입구 방향에서 바라본 흐름과 흐름사이 영역의 유동장의 격자 형상과 흐름 형상을 나타내었다. 흐름튜브 원관 주위를 흐르는 유체는 공기를 이용하였으며 입구 유속은 배열회수 보일러에서 전열관군에서 일반적인 유속인 5m/s로 설정하였고 공기의 밀도는 배열회수 보일러 전열관군에 흐르는 배기가스의 밀도에 상응하는 값인 0.4kg/m³으로 하였다.

흐름튜브 직경 평균(48.1mm), 공기 유속(5m/s), 밀도(0.4kg/m³), 점성계수(3.640×10^{-5} Ns/m²)를 기준으로 한 Re수는 5.38×10^3 이다. 원관 주위 유동에서 충류와 난류를 구분하는 임계 Re수는 3.5×10^5 이므로 본 연구의 흐름튜브 원관 형상과 입구유속은 난류 영역이 아니라 충류로 간주할 수 있다. 따라서 본 연구의 유동 지배방정식은 3차원 비정상상태 연속방정식, 운동량방정식으로 아래와 같이 구성할 수 있다.

밀도 변화가 없으므로 연속방정식은 다음과 같다.

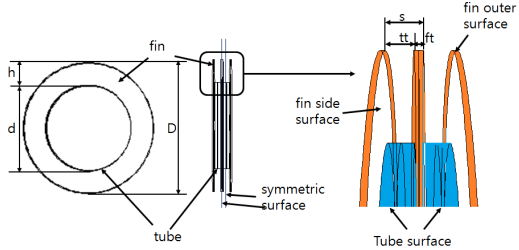
$$\frac{\partial u}{\partial x} + \frac{\partial v}{\partial y} + \frac{\partial w}{\partial z} = 0 \quad (1)$$

운동량 방정식은 비정상 상태이므로 시간 변화를 포함하여 다음과 같다.

$$\begin{aligned} \rho \left(\frac{\partial u}{\partial t} + u \frac{\partial u}{\partial x} + v \frac{\partial u}{\partial y} + w \frac{\partial u}{\partial z} \right) \\ = - \frac{\partial p}{\partial x} + \mu \left(\frac{\partial^2 u}{\partial x^2} + \frac{\partial^2 u}{\partial y^2} + \frac{\partial^2 u}{\partial z^2} \right) \end{aligned} \quad (2)$$

$$\begin{aligned} \rho \left(\frac{\partial v}{\partial t} + u \frac{\partial v}{\partial x} + v \frac{\partial v}{\partial y} + w \frac{\partial v}{\partial z} \right) \\ = - \frac{\partial p}{\partial y} + \mu \left(\frac{\partial^2 v}{\partial x^2} + \frac{\partial^2 v}{\partial y^2} + \frac{\partial^2 v}{\partial z^2} \right) \end{aligned} \quad (3)$$

$$\begin{aligned} \rho \left(\frac{\partial w}{\partial t} + u \frac{\partial w}{\partial x} + v \frac{\partial w}{\partial y} + w \frac{\partial w}{\partial z} \right) \\ = - \frac{\partial p}{\partial z} + \mu \left(\frac{\partial^2 w}{\partial x^2} + \frac{\partial^2 w}{\partial y^2} + \frac{\partial^2 w}{\partial z^2} \right) \end{aligned} \quad (4)$$



각 경우의 유동 특성 해석을 위해 사용한 프로그램은 SIMPLE 알고리즘⁽⁵⁾을 채택한 상용 열유체 전산해석 프로그램인 Fluent 프로그램을 이용하였고 유동장은 약 530만개의 격자로 구성하였다.

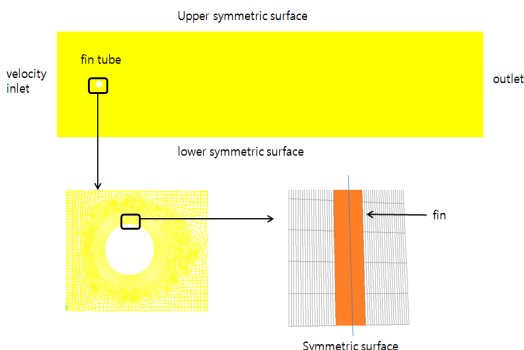


Fig. 1. Configuration of a fin tube mesh and its boundary types for CFD analysis.

III. 결과 및 고찰

3.1 단일 흐름브 주위의 충류 비정상 상태 유동장 특성

충류일 경우 원관의 후류에는 잘 알려진 Karmann 와류가 주기적으로 흐르게 되는데 본 연구에서의 흐름브 단일 원관에서 속도 분포 결과에서도 관찰할 수 있다. Fig. 2에 흐름브 주위의 유동장에서 시간 변화에 따른 속도 분포 변화를 나타내었다. Fig. 4에서 흐름브 원관 표면에서 시간에 따른 양력과 항력 변화를 분석할 예정인데 양력 변화 결과를 보면 Karmann 와류의 주파수는 약 18.56Hz이며 이로서 주기는 약 0.054sec이다. 한 주기 동안의 속도 분포 변화를 4단계로 나누어 Fig. 2에 나타내었다. 속도 분포에서 보여주는 결과는 잘 알려진 전형적인 와동 이탈(Vortex shedding)을 보여주고 있다. 즉 원관 상부에서 자라기 시작한 와류는 점점 커지다가 원관에서 떨어져 나가고 그 와중에 하부에서 새로운 와류가 생성되어 상부와 같은 형태의 와류 이탈을 반복적으로 보여주고 있다.

Fig. 2에서는 흐름브 주위의 유동 형태를 자세히 볼 수 없어서 Fig. 3에 흐름브 주위에서 유동을 자세히 관찰하기 위해 유선과 흰 사이에서의 속도 분포를 나타내었다. Fig. 3의 유선을 살펴보면 흰 사이의

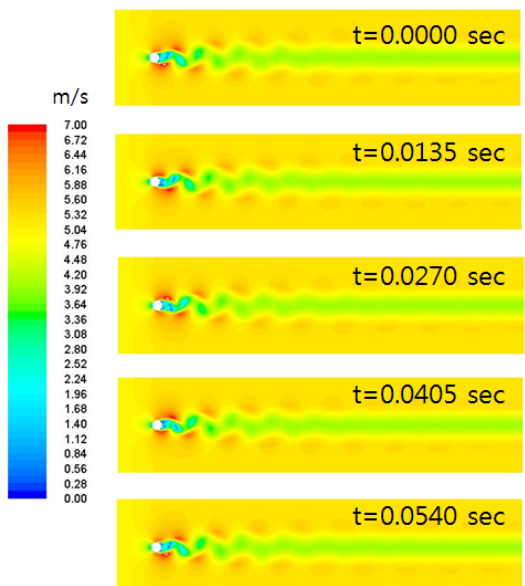
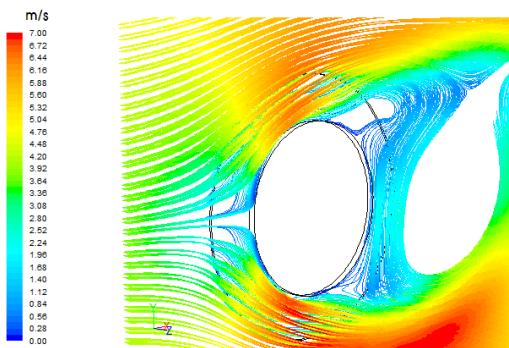
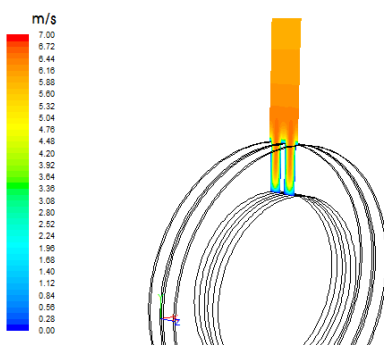


Fig. 2. Velocity magnitude contour at several time steps.



(a) pathlines



(b) velocity contour

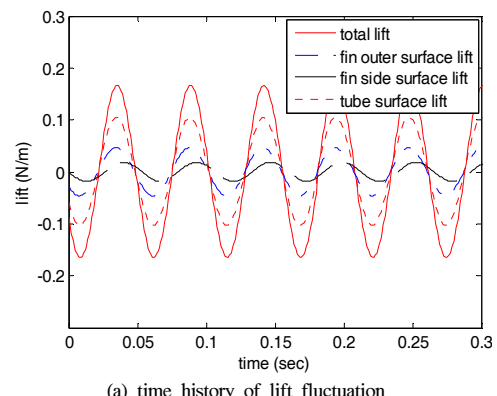
Fig. 3. Streamlines and velocity contour near the fin tube.

공간으로 유동이 흘러가는 것을 관찰할 수 있으며 흰이 없는 원관 주위 유동처럼 흰튜브 후류 측에 유동 박리가 일어나는 것을 관찰할 수 있다. 흰 사이 공간의 속도 분포를 보면(Fig. 3 (b)) 흰 사이 공간에서 벽면 효과에 의해 벽면 부근에서 속도가 줄어 들지만 사이 공간에도 유동이 적절히 흐르는 것을 관찰할 수 있다.

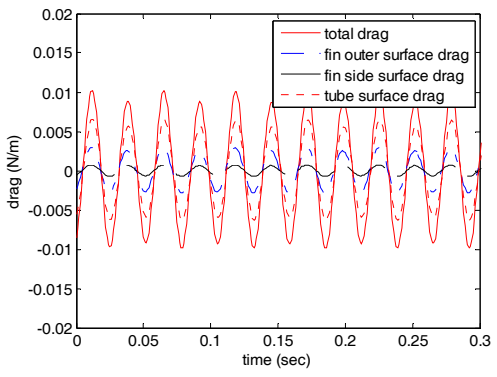
본 연구의 비정상 상태 유동해석에서 시간 간격은 0.0001sec로 하였고 약 0.3sec까지 해석하였다. 원관 표면에서 양력과 항력 변동 성분의 시간의 따른 변화와 이에 대한 FFT(Fast Fourier Transform) 결과를 Fig. 4에 나타내었다. 본 연구에서 단일 흰튜브의 양력과 항력은 아래 식으로 정의하였다.

$$L = \int p \vec{n} \cdot \vec{k} dA \quad (5)$$

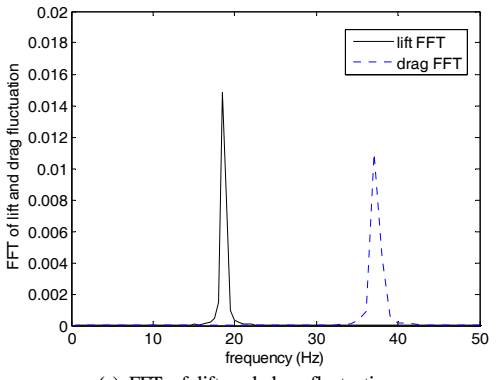
$$D = \int p \vec{n} \cdot \vec{i} dA \quad (6)$$



(a) time history of lift fluctuation



(b) time history of drag fluctuation



(c) FFT of lift and drag fluctuation

Fig. 4. Time history of lift and drag fluctuation and their FFT over a fin tube.

여기에서 L 은 양력, D 는 항력, p 는 압력이며 \vec{n} 는 흰튜브의 표면에 수직 방향 단위 벡터이고 \vec{k} 과 \vec{i} 는 각각 유동 방향의 수직방향과 수평방향의 단위 벡터이다.

Fig. 4(a)과 (b)에 나타낸 것과 같이 양력과 항력 변동 성분의 시간에 따른 변화는 거의 사인이나 코사인 곡선과 같은 형태를 보여주고 있다. 각 부분의 진폭을 비교해 보면, 흐튜브 표면의 진폭은 $0.2058N/m$, 흐튜브 측면은 $0.0356N/m$, 흐튜브 외부 표면은 $0.0914N/m$ 이며 양력 변동 합력의 진폭은 $0.3268N/m$ 로 나타났다. 이는 양력 변동 합력을 기준으로 하면 각각 63%, 10%, 27%이다. 흐튜브의 한 편에서 유체에 노출된 표면적 비율은 각각 20.7%, 74.8%, 4.5%이다. 면적비는 흐튜브의 측면이 가장 넓은데 양력 변동의 진폭이 가장 작은 이유는 흐 측면의 수직 방향은 양력 방향이 아니고 흐튜브 표면과 흐 외부 표면의 수직 방향이 양력 방향이므로 흐 측면의 양력 변동이 상대적으로 작게 나타나는 것으로 판단된다. 흐튜브와 흐 외부 표면의 면적을 비교해 보면 흐튜브 표면이 흐 외부 표면보다 약 4.5배 큰데 양력 변동 진폭은 2.3배 큰 것으로 나타났다. 흐튜브 외부 표면적이 4.5배 작지만 외부 표면의 직경이 흐튜브 표면의 직경 보다 1.5배 큰 것을 감안하면 양력 변동 진폭비가 4.5배가 아니라 2.3배로 작아지는 것을 이해될 것으로 생각된다.

각각의 양력 변동 성분은 거의 같은 주파수로 변화하고 있는 것을 관찰할 수 있는데 따라서 이에 대한 FFT는 대표적으로 양력 변동의 합력에 대한 것으로 Fig. 4(c)에 나타내었다. 주된 주파수는 양력의 경우는 $18.56Hz$ 이고 항력의 경우는 양력의 주파수의 2배인 $37.12Hz$ 임을 알 수 있다. Fig. 4(c)에서 항력의 FFT를 계산할 때 양력과 비슷한 크기의 FFT를 도출하기 위해 항력의 변동 성분에 20배를 곱한 것의 FFT를 산출하였다.

양력의 경우는 원관 상하 양단에서 주기적으로 이탈하는 Karmann 와류가 상하로 한번씩 번갈아가면서 생성되며 이의 주기가 $18.56Hz$ 이다. 항력의 경우는 상하에서 번갈아가면서 발생하는 와류의 영향이 항력의 변동을 양력보다 2배로 자주 변동하게 만들게 하는 것으로 판단된다. 이렇게 때문에 항력의 변동 주파수는 양력의 2배인 $37.12Hz$ 로 나타나는 이유이다.

양력 변동의 진폭은 $0.33N/m$ 이며 항력은 $0.02N/m$ 이다. 항력의 진폭은 양력 진폭의 약 6%로 나타났다. 이에 대한 분석은 Fig. 2를 살펴보면서 예상할 수 있다. 즉, Fig. 2의 시간 변동에 따른 속도 분포를 보면 양력 변동의 한 주기 동안 원관의 상하 지점에서 속도는 상대적으로 큰 속도에서 작은 속도로 변하는데 이에 따라 베르누이방정식에서 알 수 있듯이 속도 변동의 제곱에 비례하여 압력변동이 발생하기 때문에 양력 변동은 상대적으로 크게 변하는 것을

예측할 수 있다. 이에 반하여 항력은 원관의 전방과 후방 표면의 압력차이로 발생하게 되는데 전방의 속도는 정체 영역이기 때문에 속도가 낮으면서 속도의 변동도 크게 발생하지 않는다. 또한 원관의 후방 표면에서는 유동 박리 영역이며 이곳에서의 속도도 크지 않으면서 속도 변동도 크지 않게 나타나고 있다. 이러한 이유로 양력 변동의 진폭이 항력의 진폭보다 상대적으로 크게 나타나는 것으로 판단된다.

3.2 단일 흐튜브에서 양력과 항력의 PSD 특성

전열관군에서 유동 유발 진동은 서론에서 살펴보았듯이 많은 실험적 연구들이 있어 왔다. 대표적인 것이 Blevins^[1]의 연구이며 Taylor^[2]와 Chen^[3]의 연구를 겸종하며 유동 유발 진동에 대한 무차원 PSD (Power Spectrnum Density) 함수를 정리한 연구가 Axisa^[4]에 의해 이루어졌다. 이러한 실험적 연구에서도 출한 무차원 PSD함수는 다음과 같이 정의하였다.

$$\Phi(fD/U) = \frac{S_F}{(\frac{1}{2}\rho U^2 D) \frac{D}{U}} \quad (7)$$

여기서

Φ : Nondimensional power spectral density function

S_F : PSD of lift fluctuation per unit length

ρ : fluid density

U : Average cross flow velocity through the minimum gap between tubes

f : frequency

여기서 무차원 PSD 함수는 Strouhal 수, fD/U 의 함수임을 알 수 있다. 양력 변동의 PSD S_F 는 n 을 양력 변동 시간 데이터 개수, Δt 를 데이터 취득 시간 간격, 양력 변동을 $L'(t)$ 라고 하면 $L'(t)$ 의 FFT를 구하여 이것을 $L'_F(f)$ 라고 하면 아래 식으로 구할 수 있다.

$$S_F(f) = 2 \left| \frac{L'_F(f)}{\sqrt{n/\Delta t}} \right|^2 \quad (8)$$

위에서 정의한 무차원 PSD를 Fig. 4(a)의 양력 변동 데이터를 이용하여 구한 결과와 기존의 실험 연구 결과들과 비교한 것을 Fig. 5에 나타내었다. 본 연구에서 우선적으로 양력 변동의 PSD와 기존의 실험 연구들과 비교하는 것은 Blevins^[1]가 실험적으로 원관 표면에서 압력을 측정하여 양력 성분만으로 PSD 결과를 도출하였기 때문에 양력 변동으로 PSD를

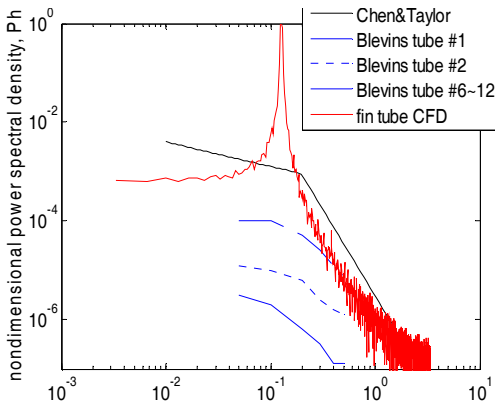


Fig. 5. Comparison of nondimensional lift PSD with the present CFD analysis result and the other experimental results.

구하여 비교하기로 한다. Fig. 5에는 Chen^[3]과 Taylor^[2]의 실험 결과를 정리하여 Axisa^[4]가 도출한 실험식인 아래 식 (6)을 이용하였다. 그리고 Blevins^[1]가 실험에서 사용한 12개 열 원관에서의 양력 변동 PSD도 함께 나타내었다. Fig. 5에서 fin tube CFD가 본 연구에서 CFD 해석을 통해 도출한 양력 변동의 PSD 결과이다. Fig. 5를 살펴보면 Blevins의 실험 결과는 다른 연구자들의 실험 결과와 다소 차이가 있는 것을 알 수 있다. 특히 1과 2열에서는 타 연구들과 차이가 많이 나며 6~12열인 후류 전열관군에서는 다른 연구 결과와 유사한 결과가 나오는 것을 관찰할 수 있다. $fD/U=1$ 이후에 PSD 상하 변동이 다소 발생하는 것은 본 연구의 비정상상태 해석시 시간 간격의 크기에 따라 고주파수 영역에서 발생하는 변동으로 판단된다. 본 연구의 CFD 해석 결과는 Axisa^[4]가 종합 정리한 무차원 PSD 식(6)에 근접한 결과를 보여 주고 있다. 이로부터 단순 원형관이 아닌 흰튜브에서도 단순 원형관에서의 양력 변동에 따른 PSD 특성과 거의 유사한 결과가 나타남을 알 수 있다. 이로부터 흰튜브에서의 PSD 특성은 흰튜브의 적절한 직경 선정, 무차원 주파수, 무차원 PSD를 이용하여 단순 원관의 PSD 특성으로부터 예측할 수 있음을 알 수 있다.

$$\Phi(fD/U) = \begin{cases} 4 \times 10^{-4} (fD/U)^{-0.5} & 0.01 \leq fD/U \leq 0.2 \\ 3 \times 10^{-6} (fD/U)^{-3.5} & 0.2 \leq fD/U \leq 3.0 \end{cases} \quad (9)$$

이미 Fig. 4(a)와 (b)에서 살펴보았듯이 양력 변동의 진폭은 항력 변동의 진폭 보다 약 17배 크다. 따

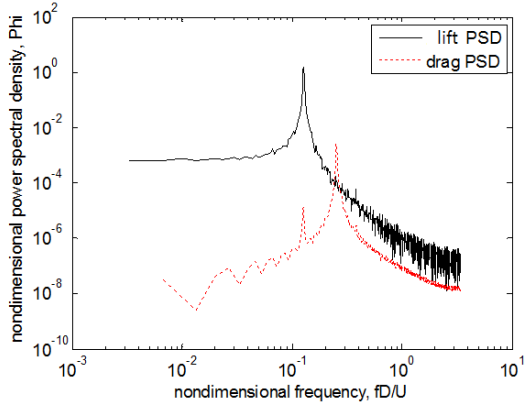


Fig. 6. Comparison of nondimensional PSD derived from the lift fluctuation and drag fluctuation.

라서 원관 주위의 유동 유발 진동은 양력 변동이 주된 역할을 함을 알 수 있었다. 항력 변동의 진폭은 양력 변동의 약 6% 정도의 영향임을 염두에 두기로 한다. Fig. 6에 양력 변동과 항력 변동에 따른 PSD를 함께 나타내었다. 양력 변동의 PSD는 이미 Fig. 5에 나타낸 것과 동일한 결과이다. 항력 변동의 PSD 크기는 이미 진폭 크기 비교에서 예측하였듯이 양력 변동의 PSD 보다 작게 나타남을 알 수 있다. PSD에서 결과에서 보여준 $fD/U < 0.1$ 영역에서 일정한 양력 PSD 값은 7.1×10^{-4} 이고 항력 PSD 평균값은 약 8.1×10^{-8} 으로 항력의 PSD 값이 양력의 약 1×10^{-4} 으로 나타났다. 이는 항력 변동의 진폭이 양력 진폭의 6%이며 식 (5)에서 알 수 있듯이 PSD는 진폭의 제곱에 비례하는 것을 감안 하면 6%의 제곱이 4×10^{-3} 로 나타나는 것으로 항력의 PSD 크기가 양력의 PSD 크기의 1×10^{-4} 로 나타난 것을 예측 가능하다. $fD/U > 0.1$ 인 영역에서도 양력과 항력의 PSD 크기에 대한 결과는 이와 유사한 것을 예측할 수 있다. 그리고 항력의 PSD 그래프에서 양력의 PSD 보다 피크 부분이 약간 오른쪽으로 이동한 것은 항력의 주파수가 양력의 주파수의 2배이므로 피크가 일어나는 곳도 무차원 주파수인 Strouhal 수의 2배 지점에서 일어나는 것을 예측할 수 있다.

IV. 결 론

지금까지 단일 흰튜브에서 양력과 항력의 시간 변동에 따른 유동 특성을 살펴보았으며 기존의 실험 연구들과 본 연구에의 CFD 해석을 통한 결과를 비교함으로써 본 연구의 CFD 해석의 타당성과 단일

흐튜브의 양력과 항력의 시간 변동에 따른 PSD 특성을 분석하여 이에 대한 연구 결과를 다음과 같이 요약할 수 있다.

1) 단일 흐튜브 주위의 양력과 항력의 시간 변화 특성

본 연구에서 흐튜브 원관 표면, 흐 측면 및 흐 외부 표면에서 양력 변동 성분의 시간의 따른 변화를 살펴본 결과 모두 다 거의 삼각함수와 같은 주기적인 변동을 관찰할 수 있었고 흐튜브 표면의 진폭은 0.2058N/m, 흐튜브 측면은 0.0356N/m, 흐튜브 외부 표면은 0.0914N/m이며 양력 변동 합력의 진폭은 0.3268N/m로 나타났다. 이는 양력 변동 합력을 기준으로 하면 각각 63%, 10%, 27%으로 나타났다. 이로부터 흐튜브 표면의 양력 변화가 가장 크게 나타나는 것을 알 수 있었다. 양력 변동의 진폭은 0.33N/m이고 항력 진폭은 0.02N/m로 항력 진폭이 양력 진폭의 약 6%로 작게 나타났다. 또한 양력 주파수는 18.56Hz이고 항력은 이것의 2배인 37.12Hz로 나타났다.

2) 단일 흐튜브에서 양력과 항력의 PSD 특성

단순 원관에 관한 기준의 실험 연구들에서 도출한 PSD 특성과 본 연구의 흐튜브에서 양력 변동 PSD 특성을 비교한 결과 거의 유사한 특성이 도출되는 것을 확인할 수 있었다. 이로부터 흐튜브에서도 적절한 흐튜브 직경을 토대로 한 무차원 주파수, 무차원 PSD를 이용하면 흐튜브에서의 PSD 특성을 단순 원관에서의 PSD로부터 예측할 수 있음을 알 수 있었다. 또한 항력 변동의 PSD는 양력 변동 PSD에 비해 매우 적은 1×10^{-4} 배로 나타나서 항력 변동에 따른 PSD는 거의 무시 가능한 것으로 나타났다.

감사의 글

본 논문은 2015년도 계명대학교 비자연구기금으로 이루어졌습니다.

REFERENCES

- [1] R.D. Blevins, R. J. Gibert and B. Villard, "Experiment on vibration of heat exchanger tube arrays in cross-flow", *Trans. 6th Int. Conf. on Structural Mechanics in Reactor Technology*, Paper B6/9, (1981)
- [2] C. Taylor, M.J. Pettigrew, F. Axisa and B. Villard, "Experimental determination of single and two-phase cross flow induced forces on tube raws", *Flow Induced Vibration*, pp. 31-39, PVP Vol. 104, (1986)
- [3] S.S. Chen and J.A. Jendrzejczyk, "Fluid excitation forces acting on square tube array", *Journal of Fluids Engineering*, Vol. 109/415, (1987)
- [4] F. Axisa, J. Antunes, B. Villard and M. Wullenschleger, "Random excitation of heat exchanger tubes by cross-flows", *Int. ASME Winter Symposium on Low-Induced Vibrations and Noise*, CEA-CONF-9744, (1988)
- [5] S.V. Patankar, "Numerical Heat Transfer and Fluid Flow", pp. 126-131, (1980)
- [6] K.B. Lee, B.W. Kim, J.S. Yang, M.K. Kim and S.S. Jang, "A study on flow-induced vibration of tube array in uniform cross flow (I)", *Transactions of the KSME B*, pp 924-932, Vol. 16, No. 5, (1982)
- [7] S.S. Paul, S.J. Ormiston and M.F. Tachi, "Experimental and numerical investigation of turbulent cross-flow in a staggered tube bundle", *International Journal of Heat and Fluid Flow*, pp 387-414, Vol. 29, (2008)
- [8] J.S. Ha, "The power spectral density characteristics of lift and drag fluctuation on a heat exchanger circular tube", *Journal of the Korean Institute of Gas*, pp 35-40, Vol. 19, No. 4, (2015)